

液性限界による圧密度の推定法

復建調査設計(株) 正員 ○花井光昭

正員 福田直三

正員 小西雄二

1.はじめに: サンドドレーン等の地盤改良工事では、改良効果の把握のために、動態観測やチエックボーリングが行なわれる。地盤の強度増加を目的とする改良では特に後者が重要となるが、動態観測による圧密度の推定の補足的な手段としてチエックボーリングが行なわれる。例えば図-1の模式図に示すように面積比と圧密度は示される。 $U = \text{面積 } A / (\text{面積 } abcd - (1))$

ただし(1)は有効応力に関する圧密度 u_0 、(2)はひずみに関する圧密度 u_0 に相当する。チエックボーリングによる圧密度の推定に際しては、それと表-1に示すような長短さ有する。これら深度のうち間隙比 e や含水比 w の変化による方法は本来試料の乱れの影響を受けないものであり、手法を確立されれば擾乱試料の採取の点でよく経済性の面でも非常に有利となる。しかし現状では表-1に示す問題等により積極的に利用されていないようである。今回の報告は、このような目的に対する問題となる e や w_h の初期値の推定および載荷後の最終値の推定をいかゆる土の一次的性質²⁾である液性限界より推定する方法を示します。問題点を述べるものである。

表-1 チエックボーリングによる圧密度推定の際の問題点

	Pcによる圧密度	quによる圧密度	e, wによる圧密度
長所	・初期値、最終値の推定が比較的容易。 ・正規、過圧密の識別が可。		・試料の乱れの影響を受けない。
短所	・試料の乱れの影響を受ける。 ・ C_u/P の設定に影響される。		・初期値の設定は場所的な成層状態が大きく異なる場合困難。 ・最終値の設定は C_c , G_s など他の因子のばらつきが入ってくる。 ・正規、過圧密の識別が不可。

3. 液性限界による初期値の推定: 事前調査地盤と事後調査地盤は同一ではないことが多く、場所的に堆積層厚が異なる場合、これらに圧密沈下により層厚が減少している場合など事前調査地盤の初期値を直接的に事後調査地盤に用いることはできない。(図-2(a), (b))

そこで間接的な方法として事前の e_0 , w_0 と w_L の関係を求めておけば圧密により e , w が減少しても w_L は本来不变であり、事後の仕事の地盤の w_L の深度分布を知ることにより初期の e , w_L の深度分布が推定できると考えられる。

当地区の w_L と e_0 , w_L の関係は、図-3(a)(b)に示すとおりであり、それとの関係は次式である。

$$e_0 = 0.0171 \cdot w_L + 0.384 \quad (2) \quad w_L = 0.665 w_L + 12.83 \quad (3)$$

図-4(a)(b)は、検証ため事前調査における e_0 , w_L と w_L より計算で求めた e_0^* , w_L^* を比較したものである。

(図中 δ :標準偏差, C :変動係数, r :相関係数)

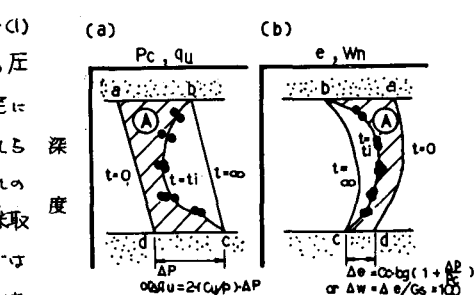


図-1 チエックボーリングによる圧密度算定模式図

2. 検討地区的地盤特性

表-2 検討地区的地盤特性

地盤分類	深度(TP)	含水比W(%)	液性限界W _L (%)	塑性指標I _p	圧縮指標C _c	密度ρ(t/cm ³)
上部砂層	±0 ~ 7m	20~40	—	—	—	—
シルト層-1	~15m	6.0	6.5	4.0	0.6	1.65
シルト層-2	~25m	9.0	10.5	7.5	1.25	1.50
シルト層-3	~30m	4.0	6.0	3.0	0.5	1.80
下部砂利層	-30m 以深	2.0	—	—	—	—

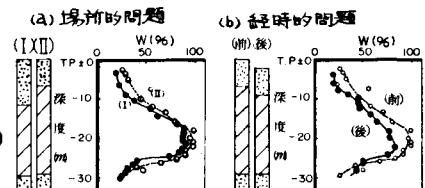


図-2 初期値設定上の問題

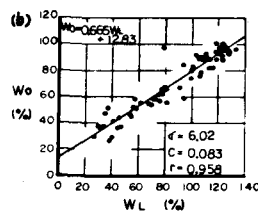
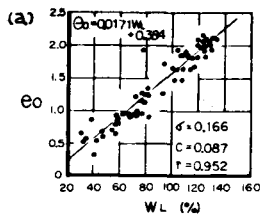


図-3 WL～ e_0 , W_o 關係

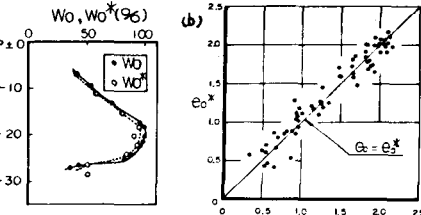
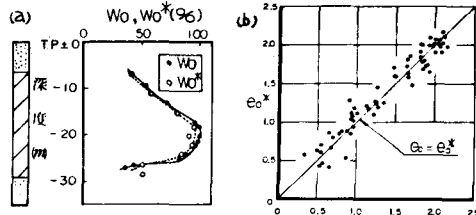


図-4 初期値推定法の検証

4. 流動限界による最終値の推定： 埋立等上載荷重による間隙比、含水比の最終値 e_0^* , W_o^* の予測は、次式により行なう。(正規圧密の場合を考慮)

$$e_0 = e_0 - C_c \log(1 + \Delta\sigma/P_c) \quad (4)$$

$$W_o = 100 \cdot e_0 / G_s \quad (5)$$

ここで、 C_c は Skempton ($C_c = 0.009(WL - 10)$)³⁾ をはじめ WL と e_0 の相関性が論じられていく。当地区における両者の関係は、図-5に示され、 $C_c = 0.0095 \cdot WL - 0.1381$ — (6) なる関係式が表わされる。

WL より計算した C_c^* と試験値の C_c の比較を図-6に示した。

5. 圧密度の検討例： 地盤改良の途中段階で行なったチェックボーリングポイントの WL の深度分布を求め、式(2)～(6)より間隙比変化あるいは、含水比変化より圧密度を算定できる。なお、比重のばらつきによる(5)式の変動はほとんど無視できることが確認されたため、今回は間隙比による圧密度のみを示すこととした。図-7は試験値である e_0 と WL の試験値より計算した e_0^* 、 e_0^* 値の関係であり、圧密度は図-1(b)の様式で算定する。また、 e_0 と e_0^* の関係より地盤改良当初よりチェックボーリング時までの沈下量を算定できる。

・すなわち、

$$S = \sum S_i = \sum (e_0 - e_0^*) \cdot H_i / (1 + e_0^*) \quad (7)$$

ここで S_i は i 番目のサンプリング試料の分担する層厚 H_i の沈下量。すな $H_i / (1 + e_0^*) = \text{Const}$ であることを考慮した。表-3に沈下測定結果と今回の手法との比較を示した。

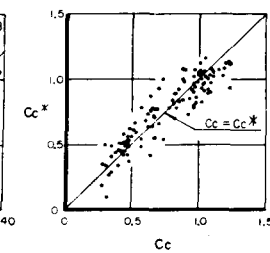
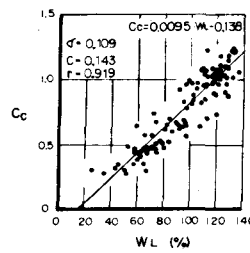


図-5 WL～Cc関係

図-6 Cc, Cc*の検証

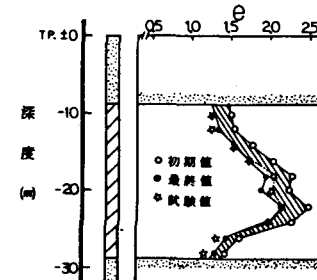


図-7

表-3 圧密度、沈下量の比較

	チェックボーリング1	チェックボーリング2
圧密度	沈下観測 0.61	0.91
	WLによる 0.77	0.95
沈下量	沈下観測 1.4m	2.1m
	WLによる 1.8m	2.2m

6. あとがき： 今回提案の方法は低液性限界($WL < 50\%$)でばらつきが大きく圧密度が100%を越えるケースを生じ精度に問題は残しているが、動態観測結果の裏付けとなり、手持動態観測を行なっていつの時期の圧密沈下量の推定にも利用することができる。

参考文献： 1)例えば最上武雄編、土質力学、技術出版社 P373～1977。

2)三笠正人：土と工学的性質の分類表とその意義、土と基礎 Vol.12 No.4 p17～24, 1964

3)例えば土質工学編、土質試験法、P132, 1979
会